

京都大学工学部 正員 古市 敏
 京都大学工学部 正員 平岡 正勝
 三菱総合研究所 正員 中条 寛

1.はじめに 移流拡散現象を数値シミュレーションする方法として、大別して Euler 的方法と Lagrange 的方法がある。前者は数学モデルとして移流拡散方程式を用い、有限差分法(FDM)や有限要素法(FEM)によつて離散化して解く方法であり、安定条件等スキームが満たさなければならぬ制約条件がある⁽¹⁾。一方後者は直接流れにのつた粒子の運動に注目した数学モデルを用いるもので、モンテカルロ法に代表される方法であり、流れ場の観測データや乱れの構造を反映しにくいという欠点がある。本研究で提示する確率微分方程式モデル(SDEM)は後者に属する方法ではあるが、①観測データとモデルパラメータとの対応がつきやすい、②数値計算上の安定条件等の制約がない、③移流拡散方程式を用いた場合に、拡散係数を単純にスケーリングアップしただけでは表現できない乱流拡散現象をシミュレートできる、などの特徴をもつている。したがつて本報では、SDEMを大気拡散現象に適用した場合について、その有効性および応用可能性などについて考察を行つた。

2. SDEMの位置付け

Lagrange 的方法は Fig. 1 のように分類できる⁽²⁾。MCM は式(1)で表わされるモンテカルロ法のことである。また CRM とは日野によつて提案された複合乱数列モデル⁽³⁾のことである。本研究での SDEM とは式(5)で表わされるモデルであるが、分子拡散は乱流拡散に比べて十分に小さいものとして計算上 N の項は無視している。式(5)は式(2)～(4)の過程から導かれる。式(2)と(3)の関係は、Fokker-Planck eq. と伊藤型確率微分方程式の関係にある⁽⁴⁾。式(5)を計算時間间隔 Δt sec で離散化して以下のシミュレーションを行うが、計算実行上の必要粒子数、定常到達時間、演算時間等の議論は講演時に述べる。

3. 等方等質な2次元一様流でのシミュレーション

想定した計算領域は風下距離 200m、幅土 10m の2次元の矩形領域とし、counting net の大きさは $\Delta x = 4m$, $\Delta y = 0.5m$ と

して煙源 S(0, 0) の位置より粒子を放出す

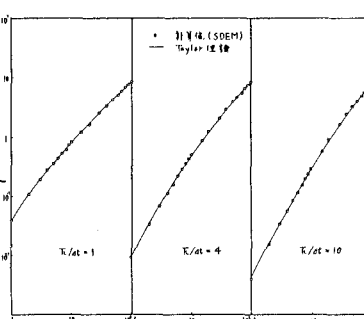
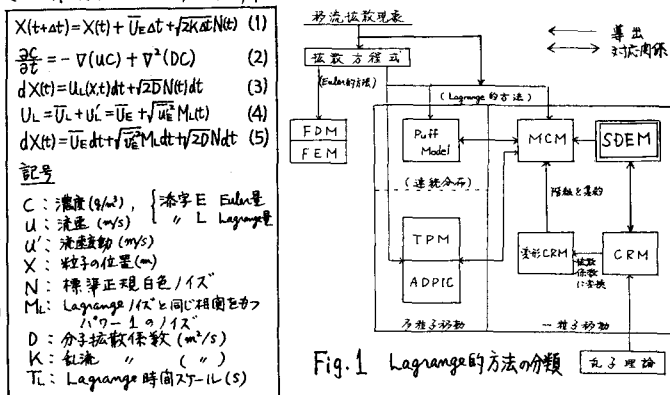


Fig. 3 $T_L/\Delta t$ の違いによる \bar{Y}^2 の変化

るものとする。ここでは定常濃度を問題とすため、Taylor の one particle analysis に従つて解析を行つた。Fig. 2 に MCM, CRM, SDEM の各方法による \bar{Y}^2 方向の分散 \bar{Y}^2 の比較を示している。MCM は解析解のときの $\bar{Y}^2 = 2Kt$ の直線にのり、CRM と SDEM は Taylor の理論に従つていることがわかる。次に $K = T_L \cdot \bar{Y}^2$ を一定としたが、比 $T_L/\Delta t = 1, 4, 10$ とした場合の分散 \bar{Y}^2 の変化を Fig. 3 に示しており、それぞれ Taylor の理論に従つているが勾配の違いにより拡散の傾向が異なることがわかる。このときのシミュレーション結果と解析解との差を Fig. 4～6 に示して

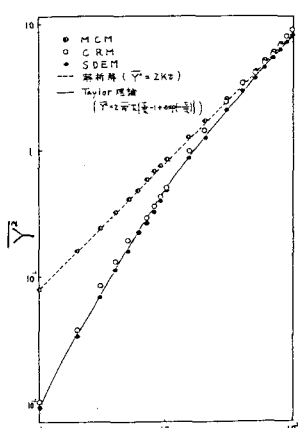


Fig. 2 MCM, CRM, SDEM の \bar{Y}^2

いる。解析解との差から、 $T_L/\Delta t$ が小さくと解析解に近づき、大きくなると解析解との差は遠い風下距離まで及ぶことがわかる。以上から、拡散係数がたとえ同一でも T_L が異なれば拡散状況は大きく違うことになり、これは移流拡散方程式では表現しきれない SDEM の固有の利点と考えられる。

4. 2次元せん断流でのシミュレーション

Y 方向の座標のとり方と煙源 $S(0, He)$, He は煙源高さの表現が 3. の一様流の計算領域と異なる。地表面は完全反射とする。平均風速鉛直プロファイルとしては Walters あるいは Roberto の式⁽⁵⁾と比較するため、べき乗則 $\bar{U} = \bar{U}_0 (\zeta/\zeta_0)^m$ を用いた。まず高さ方向に T_L が変化しない場合を考える。He が低い程解析解との差が大きいことが Fig. 7 によりわかる。またべき指数が大きい程解析解との差が大きいことが Fig. 8 によりわかる。次に T_L が高さ方向に変化（べき乗則を仮定）するより現実的な場合を考える。このとき、このような空間構造をもつ乱数を Yule-Walker eq. からどのように導くかがモデル化のポイントになる。煙源位置の違い (Fig. 9 の a と b) とべき指数の違い (Fig. 9 の a と c) については、 T_L が高さ方向に変化しない場合と同様な傾向にあることがわかる。

5. おわりに 現実の大気状態を想定したシミュレーションでも、SDEM で拡散状況を定性的に表現できることがわかった。その一例として、Fumigation の例 (50 個の跡の軌跡) を Fig. 10 に示している。また SDEM では 3 次元への拡張は、追跡する座標が 1 つ増すだけで、Euler 的方法に比べて計算時間記憶容量等において有利である。SDEM は河川などの拡散シミュレーションにも応用可能である⁽⁶⁾。

- 参考文献
- (1) 平岡・古市・田中、土木学会論文報告集、No.19号、pp.77~85。(1982)
 - (2) 平岡・古市・中条、第22回大気汚染学会講演要旨集、No.524 (1981)
 - (3) Hino, M., 土木学会論文報告集、No.123号 pp.33~43 (1965), (4) Bullin, A. and Dukler, A.E., Environmental Science & Technology, Vol. 8, No. 2, pp.156~165 (1974), (5) 平岡・古市・北田、空気評議、Vol. 15, No. 6, pp. 2~10 (1977), (6) 古市・平岡、土木学会第 30 回年次学術講演会概要集、II-292 (1975).

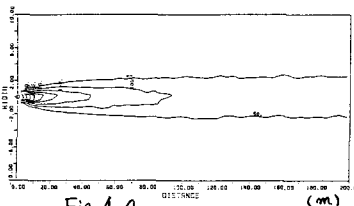


Fig. 4.a

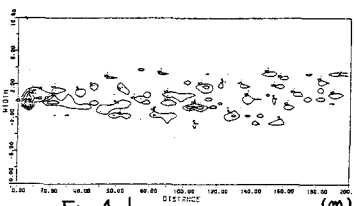


Fig. 4.b

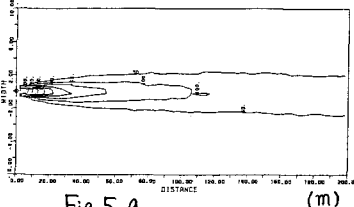


Fig. 5.a

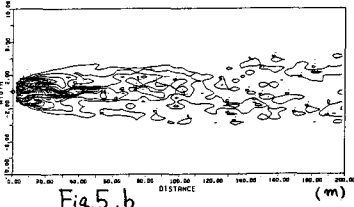


Fig. 5.b

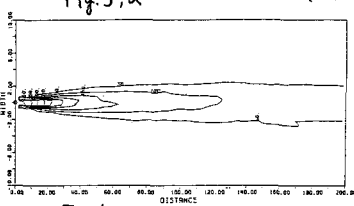


Fig. 6.a

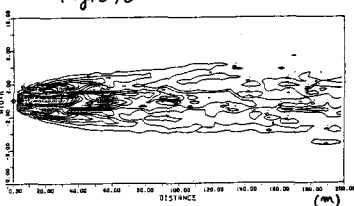


Fig. 6.b

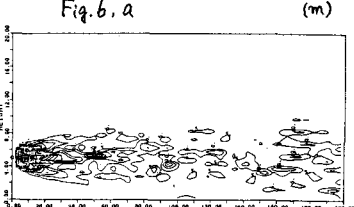


Fig. 7.a

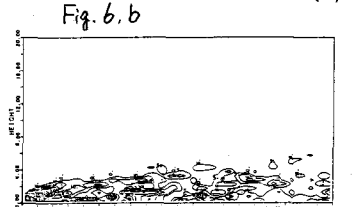


Fig. 7.b

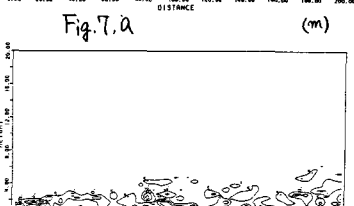


Fig. 8.a

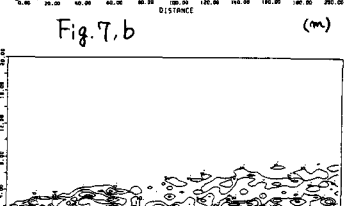


Fig. 8.b

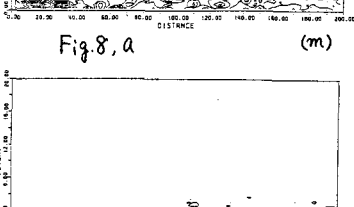


Fig. 9.a

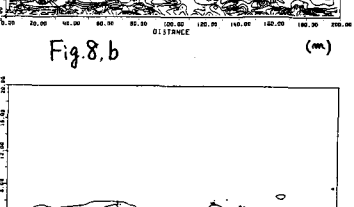


Fig. 9.b

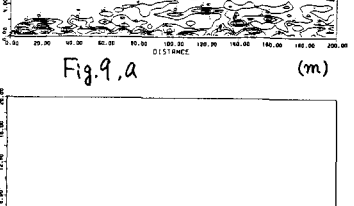


Fig. 9.c

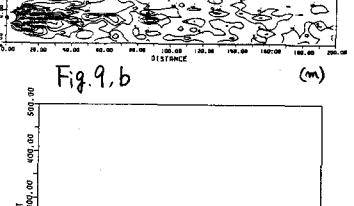


Fig. 10 Fumigation (m)